

中央大学理工学部 正員 林 泰 造  
 中央大学理工学部 学生員 〇山 田 正

1. 研究概要

従来より、不規則変動現象のスペクトル解析には、Tukeyの方法が用いられて来た。当研究は、開水路の乱流解析にTukeyの方法を使用した場合の問題点と検討し、同一のデータから得られる自己相関関数のFourier変換に、do-nothing WINDOW, HanningのWINDOW, HammingのWINDOW, 赤池のWzの4種類のWINDOWをかけ、得られるスペクトルに関して若干の考察を行ったのである。

2. 実験装置及び実験方法

(a) 水路 長さ30m, 中1m, 壁面高さ0.8mの箱型水路あり、底面には、2×2×10(cm)の入工粗度を10cm間隔に敷き並べたものである。

(b) 各種水理量 右表に示す。

(c) 実験方法

乱水の測定には、HOT-FILM流速計を用い、直結された電磁スジ

| 水理量 | 水深<br>(cm) | 径深<br>(cm) | 勾配                         | 動粘性係数<br>(cm <sup>2</sup> /sec) | 水温<br>(°C) | 流速速度<br>(cm/sec) | レイノルズ数                   |
|-----|------------|------------|----------------------------|---------------------------------|------------|------------------|--------------------------|
|     | 10.36      | 8.58       | 4.00<br>× 10 <sup>-4</sup> | 1.414 × 10 <sup>-2</sup>        | 7.5        | 18.3             | 4.6<br>× 10 <sup>4</sup> |

ロググラフからの10秒間の出力を、0.01秒間隔でSamplingし、データ数は1000個とし、5点測定位置とし、今回の報告は底面より3cm上の粗度と粗度の中間点と採用している。

3. 自己相関関数とスペクトル密度関数

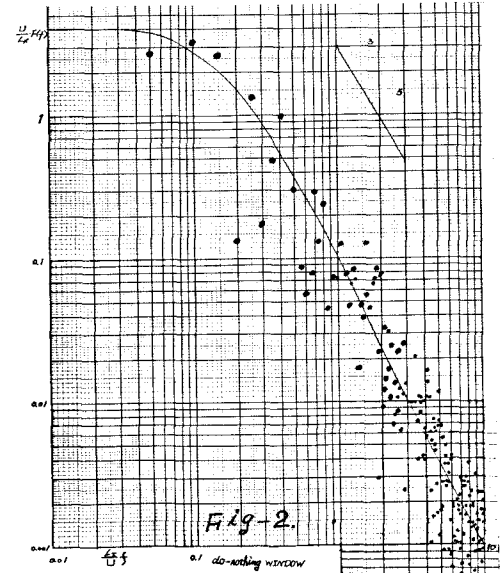
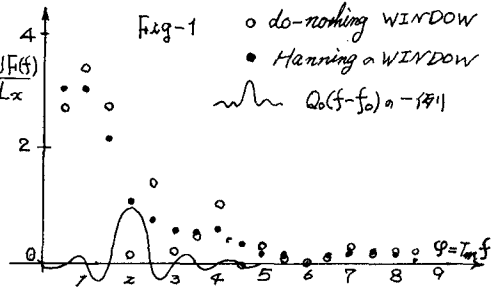
自己相関関数は式(1)により計算を行なった。

$$C(k\Delta t) = \frac{1}{N-k} \sum_{s=1}^{N-k} u(s+k)u(s) \dots (1)$$

なお最大LAG TIMEは、 $\Delta t = 0.01 \text{ sec.}$   
 2.0秒とした。  
 $k = 0, 1, \dots, m, m = 200$   
 $N = 1000$   
 $u(s)$ ; 変動流速成分

スペクトル密度関数 $F(f)$ は、式(1)より得られる $C(\tau)$ を数値的Fourier変換して得られる。しかし本来スペクトルは無限に長い最大LAG TIMEをもち $C(\tau)$ のFourier積分として定義されている。よって有限の最大LAG TIME  $T_m$ で切り取られた自己相関関数のFourier変換によるスペクトルは式(2)で示されるウィンドウ—do-nothing WINDOW  $Q_0(f)$ が掛けられる。  $Q_0(f) = 2T_m \left( \frac{\sin 2\pi f T_m}{2\pi f T_m} \right)$  (2) となる。

スペクトルは、Fig-2に示してある。Fig-2は、実際は自己相関関数 $C(\tau)$ に、 $\exp(-\tau/T_c)$ に近似し、これにFourier変換し、Reference Curveがあり、式(3)



と表される。 
$$\frac{U F(f)}{L_x} = \frac{4}{1 + 4\pi^2 \left(\frac{L_x f}{U}\right)^2} \quad \dots (3)$$

$U$  ; Mean vel. (18.67 cm/sec)  
 $L_x$  ; Turbulent Macroscale.  
 (3.68 cm)

Fig-2よりわかる様に、do-nothing WINDOWの掛けたスペクトルでは、得られるスペクトルの値は Reference curveの上下に激しく変動している。次にWINDOWとして、HanningのWINDOWをかけたものをFig-3に、赤池のWzをかけたものをFig-4に掲載している。又Fig-5にはそれぞれ、両軸を変えて、プロットしたものである。Fig-4では、低周波側のスペクトルの各値は、その変動が顕著に表れている。反面、高周波側では、値自身が小さいため、WINDOWの相違によるスペクトルの差は明確には表れない。これは本来大きい値を持つ低周波側では、Fig-1に示す如く、WINDOWの周波側の帯域、Fourier変換された値が入ったことによる大きな変動が生じていると考えられる。なお本報告中のスペクトルの自由度は約10となっており、本来は、もう少し大きい自由度を持ったスペクトルに関して議論をすべきであろうと思われる。最後に今回提示した一次元スペクトルは、慣性小領域の存在を示す $-5/3$ 乗則を明確に示しているが、 $-7$ 乗則は、はっきりとは認められなかった。

4. 結語

同一のデータにHanningのWINDOWをかけた場合と、特別なウィンドウをかけた場合(do-nothing WINDOW)とを比較し、後者では莫大にばらつきが、前者では、ばらつきが非常に小さくなる事を確認した。そして後者の場合において、そのばらつきが大きくなる原因について、若干の考察を行った。これを行うにデータ処理の問題点の考察は今後乱れの計測のデータ処理上に生かしてゆきたいと考えられている。

5. 参考文献

Blackman and Tukey,  
 The Measurement of Power Spectra  
 from the Point of View of Communication Engineering  
 (Dover Publication), 1958

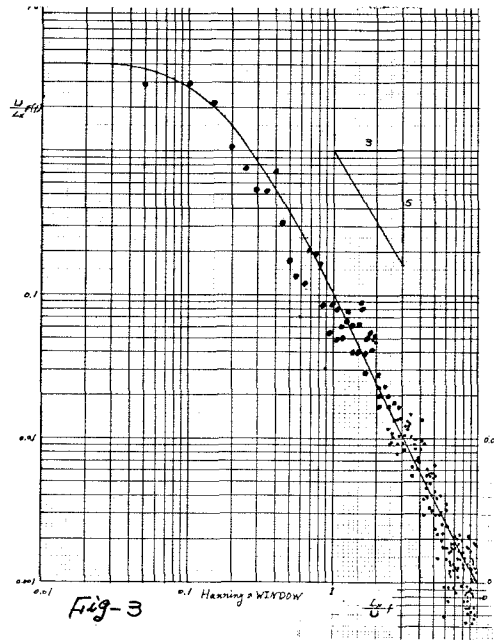


Fig-3

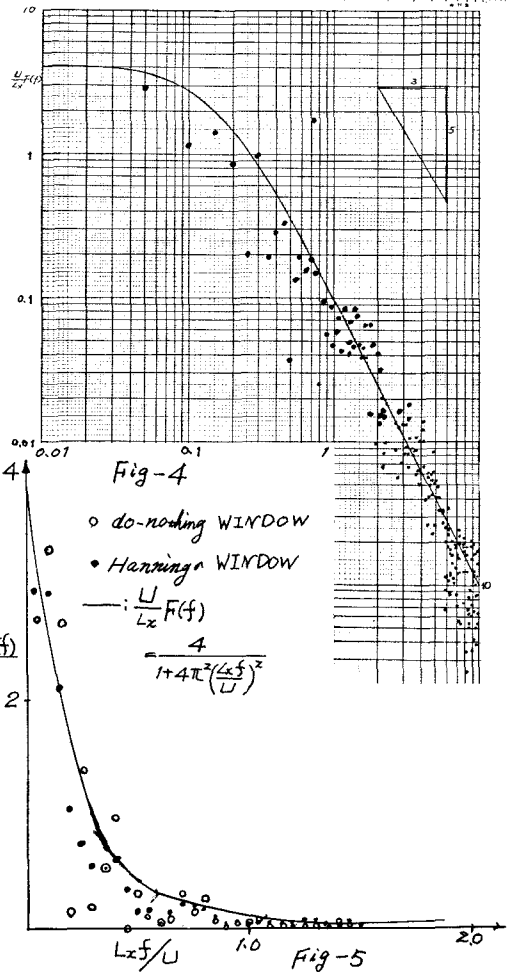


Fig-4

$$\frac{U F(f)}{L_x} = \frac{4}{1 + 4\pi^2 \left(\frac{L_x f}{U}\right)^2}$$

Fig-5